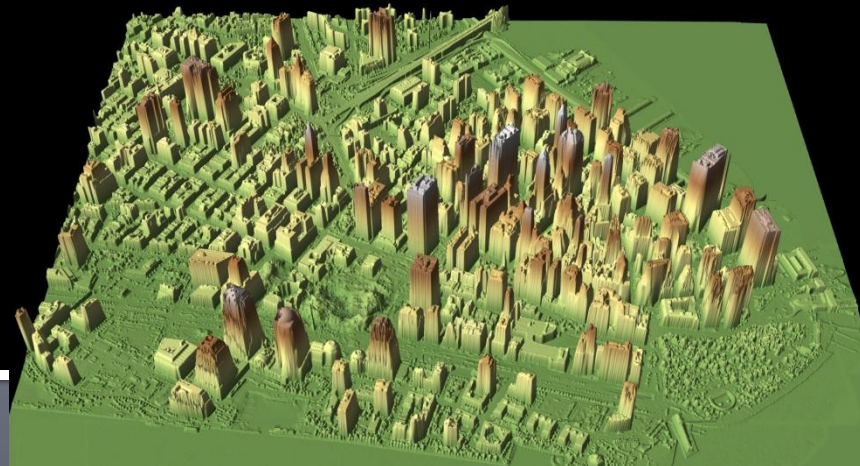


Modélisation, simulation et restitution d'images 3D d'objets : radar laser imageur

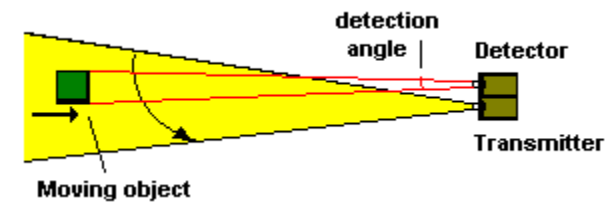


Marie Bonnasse-Gahot
Rémi Chauvin

Date de soutenance :
Mercredi 8 juin 2011

Jacques Isbert
Pierre Weiss

Ladar



Plan

- I. Bilan radiométrique
- II. Analyse temporelle
- III. Construction du simulateur
- IV. Reconstruction de l'image 3D
- V. Tests numériques

I. Bilan radiométrique

- Mesure l'énergie transportée par les rayonnements du lidar.
- Aide à définir les performances du capteur .
 - ➡ Distance maximale d'émission du laser.

I. Bilan radiométrique

1) Fonction de transfert radiométrique

Calcule le nombre de photons qui revient lorsqu'on éclaire une cible.

- Puissance reçue pour une cible résolue : ($A_{cible} \geq (\theta_T R + d_{TA})$)

$$P_{reçue} = P_{laser} \rho T_A T_R T_T \frac{4 A_R \cos(\theta_S)}{\pi R^2}$$

- Puissance reçue pour une cible non résolue : ($A_{cible} \leq (\theta_T R + d_{TA})$)

$$P_{reçue} = P_{laser} \rho T_A T_R T_T \frac{4 A_R A_{cible} \cos(\theta_S)}{\pi^2 R^4 \theta_T^2}$$

I. Bilan radiométrique

2) Rapport signal à bruit :SNR

Mesure la qualité de la transmission d'une information par rapport aux bruits.

Détermine la précision de la mesure de distance.

$$SNR = \frac{P_{re\grave{c}ue}}{NEP}$$

NEP, noise equivalent power : puissance reçue par le détecteur correspondant aux bruits.

I. Bilan radiométrique

3) Calcul de la distance maximale en fonction de la visibilité

On cherche:

➤ Pour une cible résolue:

$$\min_{R \in \mathfrak{R}} SNR - (P_{laser} \rho T_R T_T \frac{4 A_R \cos(\theta_S)}{\pi}) \frac{e^{-2\gamma(V)R}}{R^2}$$

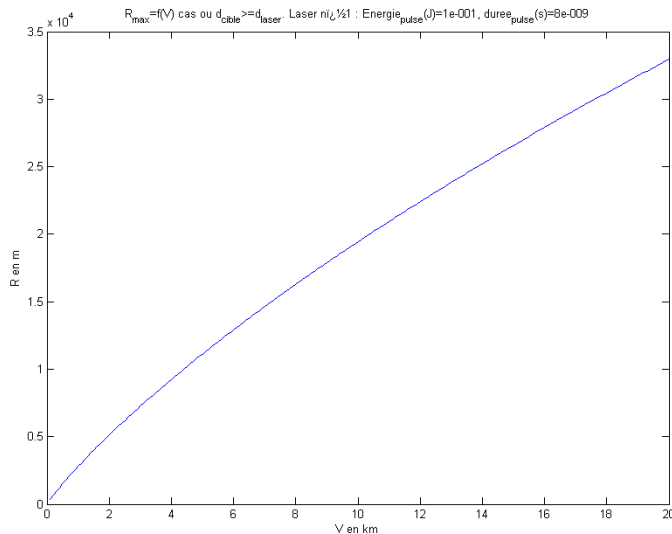
➤ Pour une cible non résolue:

$$\min_{R \in \mathfrak{R}} SNR - (P_{laser} \rho T_R T_T \frac{4 A_R A_{cible} \cos(\theta_S)}{\pi^2 \theta_T^2}) \frac{e^{-2\gamma(V)R}}{R^4}$$

I. Bilan radiométrique

3) Calcul de la distance maximale en fonction de la visibilité

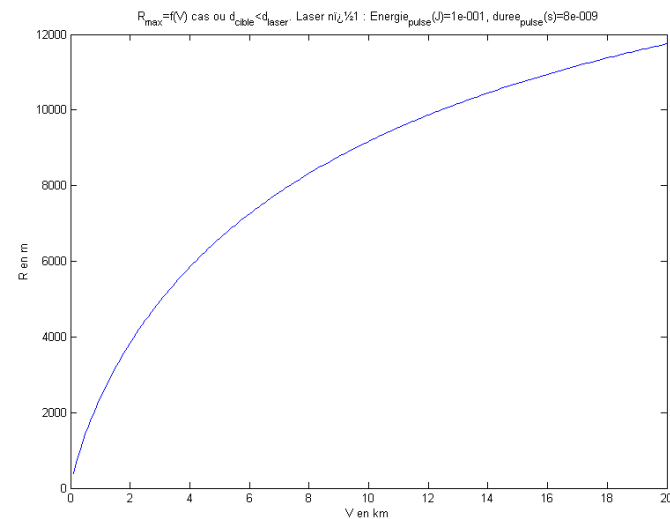
Exemple de résultats obtenus pour un type de laser:



Cible résolue

Visibilité maximale: 20 km

Distance d'émission maximale: 33 km



Cible non résolue

Visibilité maximale: 20 km

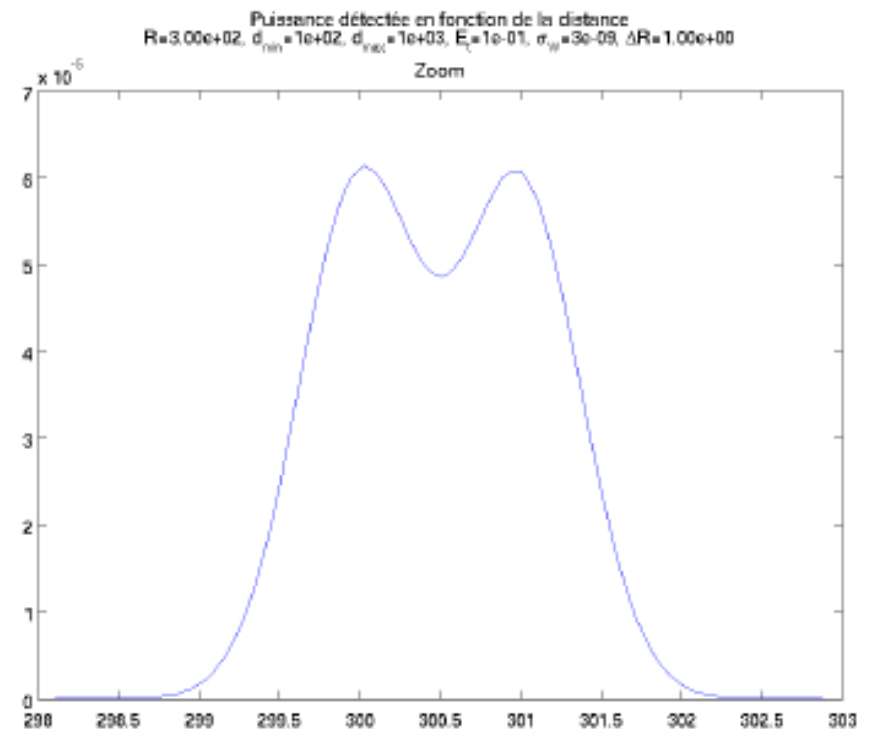
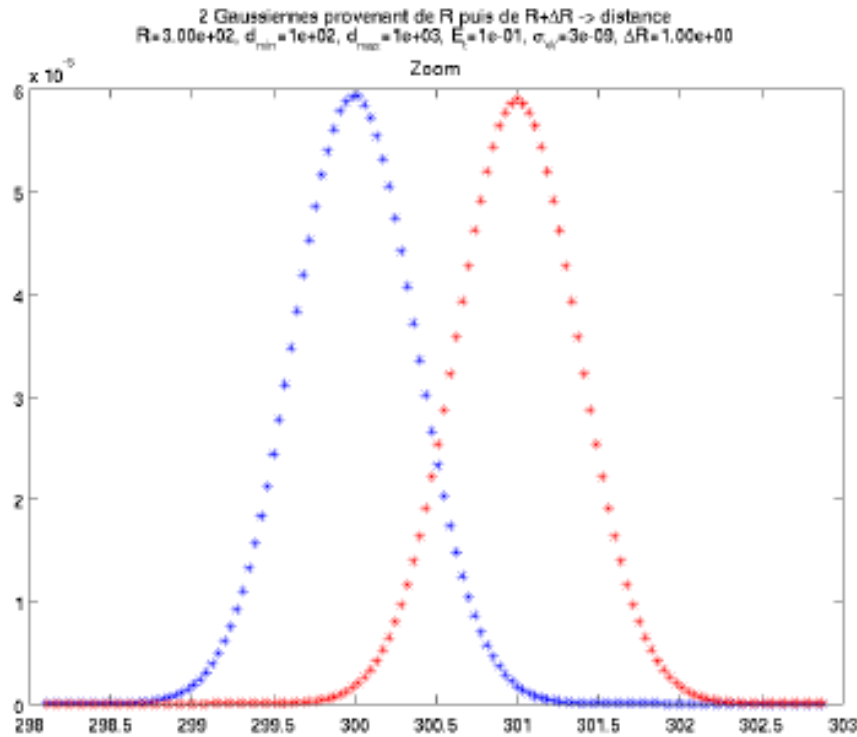
Distance d'émission maximale: 12 km

II. Analyse temporelle

- Modélisation : plans d'équations
 - $z=R$
 - $z=R+ \Delta R$
- Impulsion gaussienne de variance σ_w
- Retour de l'impulsion atténuée (\Rightarrow Radiométrie)
- Echantillonnage du retour de signal : $\Delta t= \sigma_w/10$

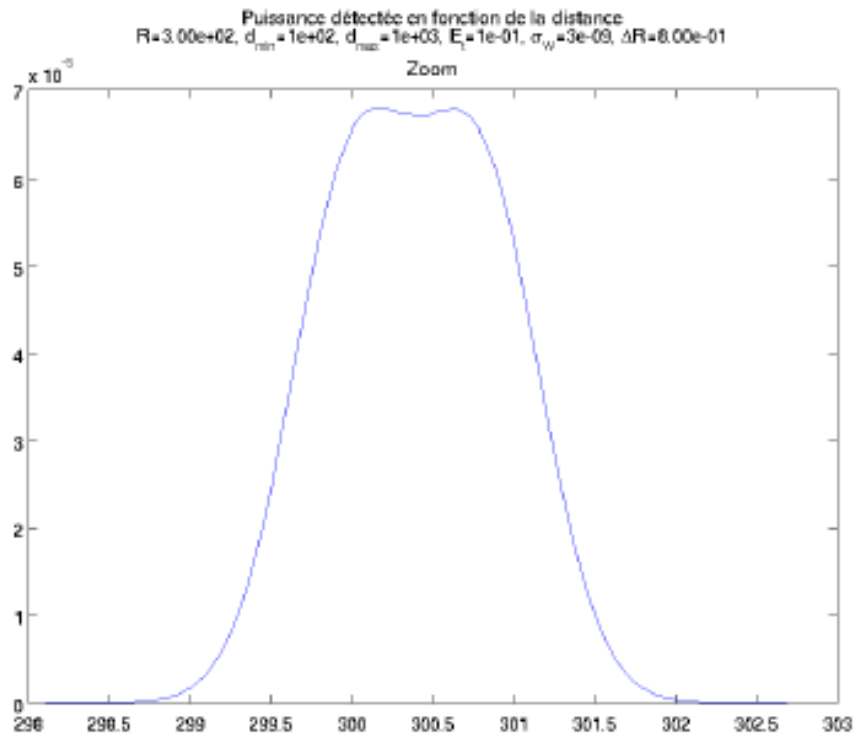
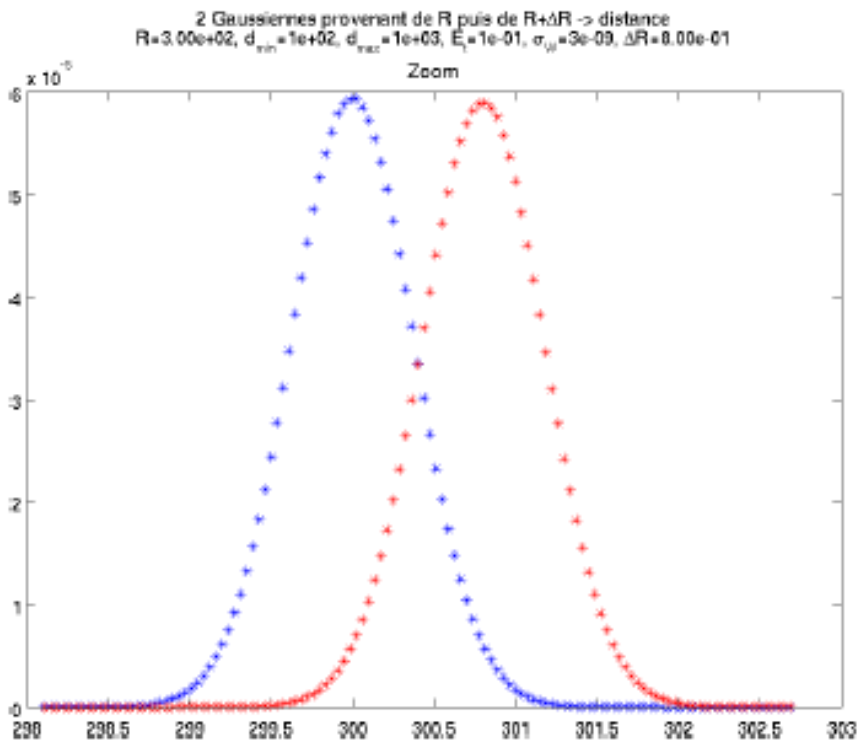
II. Analyse temporelle

- $\Delta R = 1 \text{ m}$



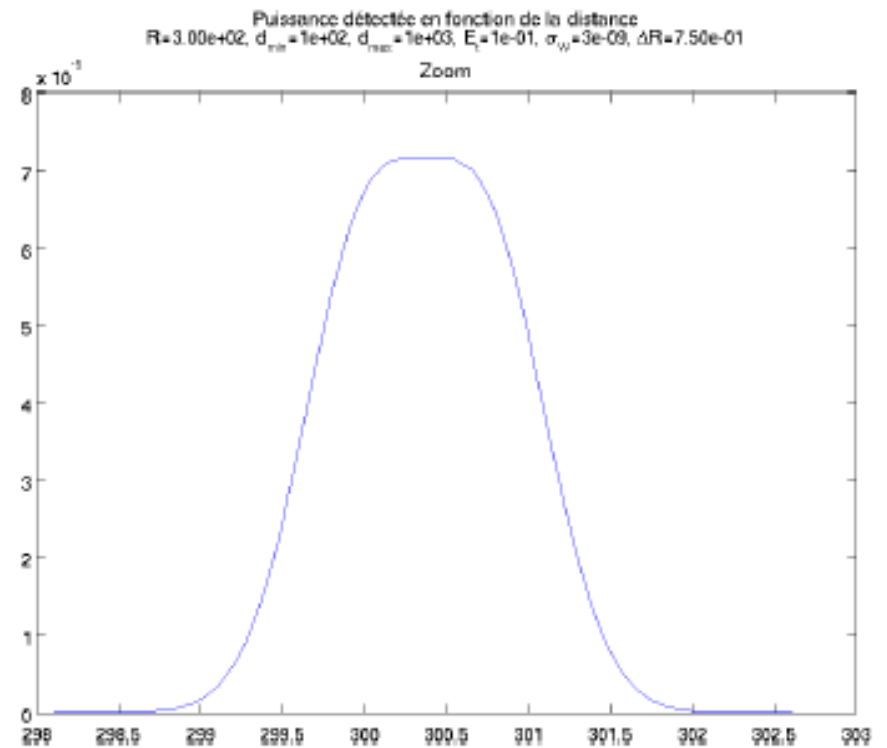
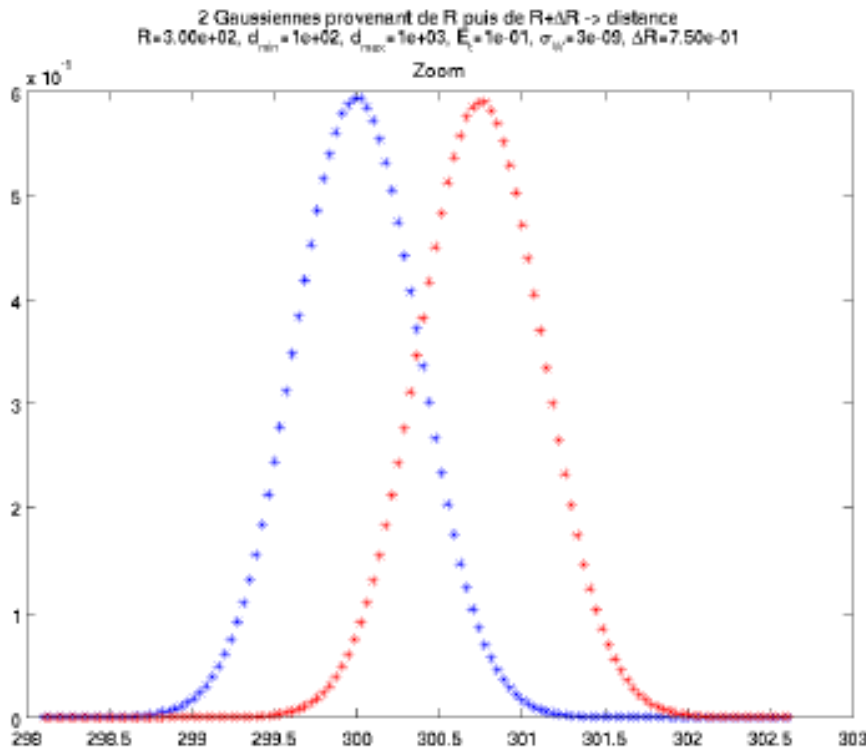
II. Analyse temporelle

- $\Delta R = 0.8 \text{ m}$



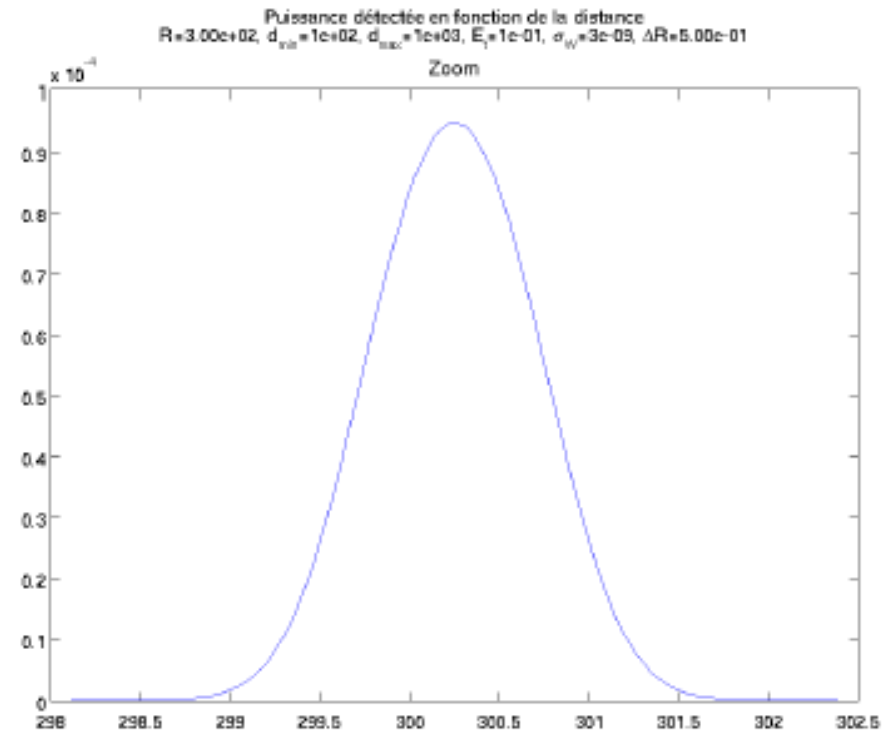
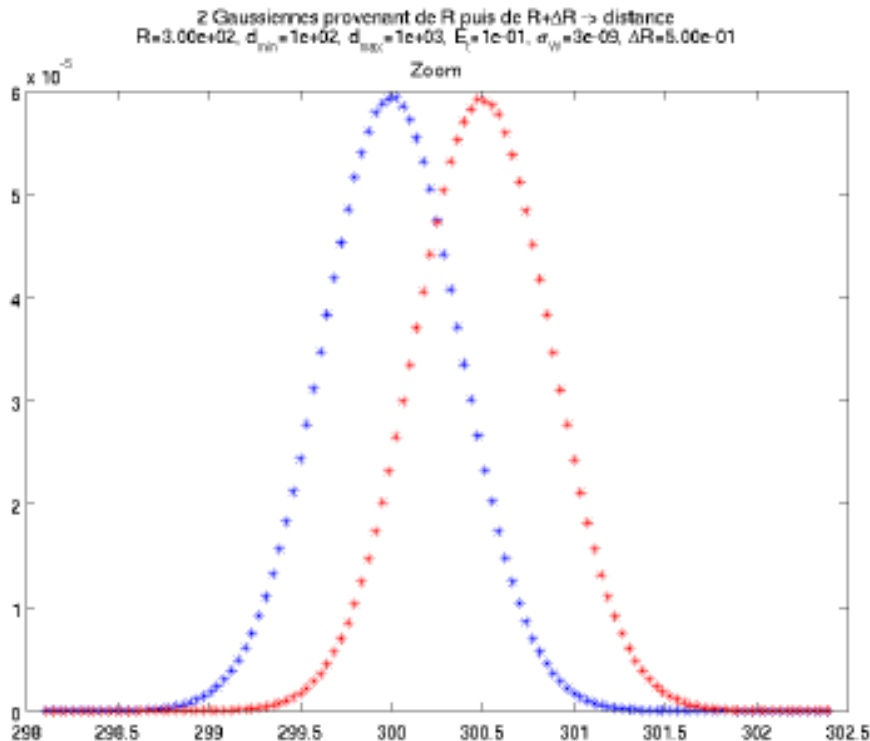
II. Analyse temporelle

- $\Delta R = 0.75 \text{ m}$



II. Analyse temporelle

- $\Delta R = 0.5 \text{ m}$



III. Simulateur

1) Signal utile

- Conversion puissance -> photons $P=h\nu$
- Arrivée de photons => conversion électrons
- Rendement η : 1 photons = η électrons
- Ici, $\eta = 1$

$$E(k) = \int_{t_k - \frac{\Delta t}{2}}^{t_k + \frac{\Delta t}{2}} P_{det}(t) dt \approx P(t_k) \Delta t$$

$$\mathbb{E}[K] = \frac{P_{det}(k) \Delta t}{h\nu}$$

III. Simulateur

2) Les bruits

- Bruit quantique : arrivée aléatoire des photons
=> Loi de Poisson
$$\mathbb{P}[n, k] = \frac{(\mathbb{E}[K])^n e^{-\mathbb{E}[K]}}{n!}$$
- Bruit d'éclairement + bruit d'obscurité
=> Loi de Poisson
- Bruit thermique : gaussienne centrée de variance

$$Q_n^2 = k_B T C / q_e^2$$

III. Simulateur

3) Algorithme

Fonction simulation1prise($R, dmin, dmax, \cos$ VerticaleNormale) :

K : Nombre d'échantillons

E_{detect} : Vecteur échantillon indicé de 1 à K

Pour k de 1 à K faire

$$K(i) \leftarrow \int_{t_k - \Delta t/2}^{t_k + \Delta t/2} P_{detect}(t) dt$$

[P_{detect} calculé en combinant formules de radiométrie et temporelles]

[$dmin$ et $dmax$ permettent de définir la fenêtre d'analyse temporelle]

Fin Pour

Retourner E_{detect}

Fin

III. Simulateur

3) Algorithme

Fonction simulateur(X,Y,Z,nbPixels,sigmaXY) :

/(X,Y,Z) Paysage cartésien “réel”, sigmaXY écart type du noyau de convolution de la lentille/

Se donner dmin, dmax, K

Signal, u_0 , Signal_capté : **matrices** nbPixels \times K

Image_detectée : **vecteur de dimension** nbPixels

Pour i de 1 à nbPixels **faire**

 | Signal(i , :) \leftarrow simulation1prise(Z(i),dmin,dmax,cosVerticaleNormale)

Fin Pour

Pour k de 1 à K **faire**

 | $u_0(:, k) = h * \text{Signal}(:, k)$

 | *[h gaussienne de variance sigmaXY, * définit le produit de convolution]*

 | Signal_capté(:, k) = $\mathcal{P}(\text{Signal}(:, k)) + \mathcal{P}(N_b) + \mathcal{N}(0, Q_n^2)$

Fin Pour

[\mathcal{P}(\lambda) désigne une loi de Poisson de moyenne λ , \mathcal{N} la loi normale]

Pour i de 1 à nbPixels **faire**

 | Image_detectée(i) = max (Signal_capté(i , :))

Fin Pour

Retourner Image_detectée

Fin

IV. Reconstitution de l'image 3D

1) Position générale du problème

$$u_0 = h * u + b$$

u image réelle

u_0 l'image réelle convoluée par la lentille de l'appareil

h noyau de convolution du système optique, supposé connu
et gaussien

b bruits

On a alors:

$$u_0 = Hu + b$$

IV. Reconstitution de l'image 3D

1) Position générale du problème

On cherche donc:

$$u^* = \arg \min_{u \in \mathbb{R}^n} \|\nabla u\|_p^p + \lambda \|Hu - u_0\|_2^2$$

$p \in \{1, 2\}$ et $\lambda > 0$

On peut raffiner en posant:

$$u^* = \arg \min_{u \in \mathbb{R}^n} \|\nabla u\|_p^p + \frac{\lambda}{2} \|D(Hu - u_0)\|_2^2$$

D est une matrice diagonale visant à favoriser certains pixels par rapport à d'autres.

IV. Reconstitution de l'image 3D

2) Algorithme de Chambolle-Pock

- L'algorithme de Chambolle-Pock consiste à résoudre le problème dual d'un problème de minimisation:

$$\underbrace{\min_{x \in X} F(Kx) + G(x)}_{\text{problème primal}} = \underbrace{\max_{y \in Y} -(G^*(-K^*y) + F^*(y))}_{\text{problème dual}}$$

IV. Reconstitution de l'image 3D

2) Algorithme de Chambolle-Pock

- Initialisation: $\tau, \sigma > 0$, $\theta \in [0; 1]$, $(x^0, y^0) \in X \times Y$ et $\bar{x}^0 = x^0$
- Pour $n \geq 0$,

$$\begin{cases} y^{n+1} = (I + \sigma \partial F^*)^{-1} (y^n + \sigma K \bar{x}^n) \\ x^{n+1} = (I + \tau \partial G)^{-1} (x^n - \tau K^* \bar{y}^{n+1}) \\ \bar{x}^{n+1} = x^{n+1} + \theta (x^{n+1} - x^n) \end{cases}$$

IV. Reconstitution de l'image 3D

2) Algorithme de Chambolle-Pock

- Opérateur proximal:

$$f : \mathfrak{R}^n \rightarrow \mathfrak{R}, \text{ convexe s.c.i}$$

$$(I + \partial f)^{-1}(x) = \arg \min_{x' \in \mathfrak{R}^n} f(x') + \frac{1}{2} \|x - x'\|_2^2$$

- Fonction duale:

$$f : \mathfrak{R}^n \rightarrow \mathfrak{R}, \text{ fonction convexe s.c.i}$$

$$f^*(x) = \sup_{x' \in \mathfrak{R}^n} \langle x, x' \rangle - f(x')$$

IV. Reconstitution de l'image 3D

2) Algorithme de Chambolle-Pock

- Pour notre problème, nous cherchons:

$$\min_{x \in \mathcal{R}^{3n}} \|\nabla x\|_1 + \frac{\lambda}{2} \|D(Hx - x_0)\|_2^2$$

- On pose alors:

$$F : \mathcal{R}^{3n} \rightarrow \mathcal{R}, F(x = \begin{pmatrix} x_1 \\ x_2 \\ x_3 \end{pmatrix}) = \left\| \begin{pmatrix} x_1 \\ x_2 \end{pmatrix} \right\|_1 + \frac{\lambda}{2} \|x_3 - x_0\|_2^2$$

$$G : \mathcal{R}^{3n} \rightarrow \mathcal{R}, G(x) = 0$$

$$K : \mathcal{R}^n \rightarrow \mathcal{R}^{3n}, K(x) = \begin{pmatrix} \nabla x \\ DHx \end{pmatrix}$$

IV. Reconstitution de l'image 3D

2) Algorithme de Chambolle-Pock

- Fonction duale de F :

$$F^*(y) = \frac{1}{2\lambda} \|y_3\|_2^2 + \langle y_3, x_0 \rangle + \begin{cases} 0 & \text{si } \forall i = 1, \dots, n \left\| \begin{pmatrix} (y)_1^i \\ (y)_2^i \end{pmatrix} \right\|_2 \leq 1 \\ +\infty & \text{sinon} \end{cases}$$

- Opérateur proximal de F^* :

$$(I + \sigma \partial F^*)^{-1}(y) = \begin{pmatrix} \Pi_{\kappa} \begin{pmatrix} y_1 \\ y_2 \end{pmatrix} \\ \frac{y_3 - \sigma x_0}{1 + \frac{\sigma}{\lambda}} \end{pmatrix}$$

où Π_{κ} est la projection de $\begin{pmatrix} y_1 \\ y_2 \end{pmatrix}$ sur $\kappa = \left\{ \begin{pmatrix} y_1 \\ y_2 \end{pmatrix} \in \mathfrak{R}^2, \left\| \begin{pmatrix} y_1 \\ y_2 \end{pmatrix} \right\|_2 \leq 1 \right\}$

V. Tests numériques

1) Tests sur des images 2D

- $\sigma = 0.02, \sigma_b = 10^{-3}$

image réelle



FIGURE 5.1 – Image réelle

image bruitée



FIGURE 5.2 – Image convoluée et bruitée

image solution



FIGURE 5.3 – Image traitée

V. Tests numériques

1) Tests sur des images 2D

- $\sigma = 0.02, \sigma_b = 0.05$

image réelle



FIGURE 5.1 – Image réelle

image bruitée



FIGURE 5.5 – Image convolée et bruitée

image solution



FIGURE 5.6 – Image traitée

V. Tests numériques

1) Tests sur des images 2D

$\sigma = 0.02$, $\sigma_b = 10^{-3}$, 10% de pixels

image réelle



FIGURE 5.1 – Image réelle

image bruitée

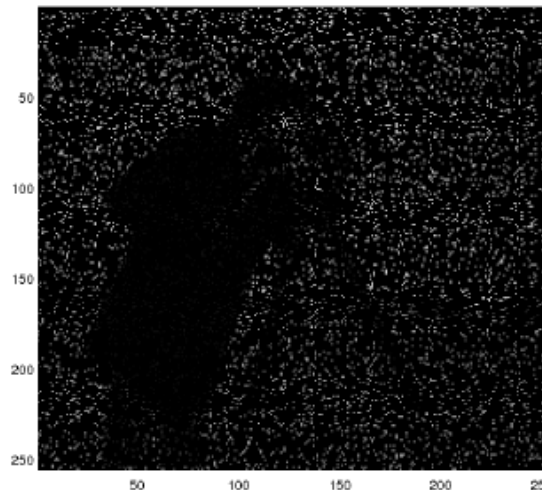


FIGURE 5.7 – Image convoluée et bruitée

image solution



FIGURE 5.8 – Image traitée

V. Tests numériques

2) Images 3D

- Cochon

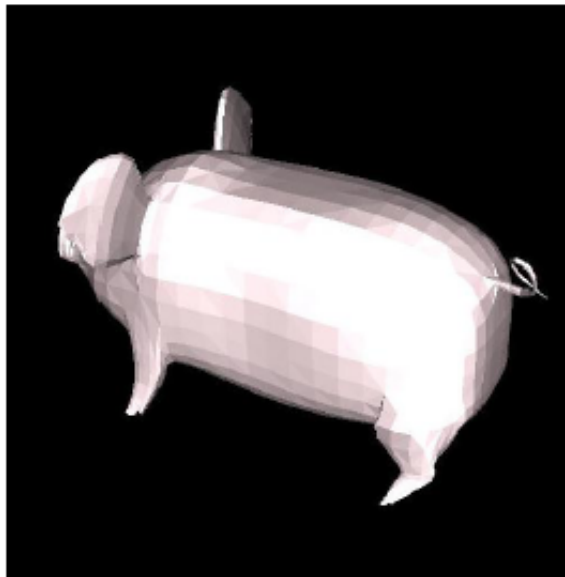


FIGURE 5.9 – Image maillée

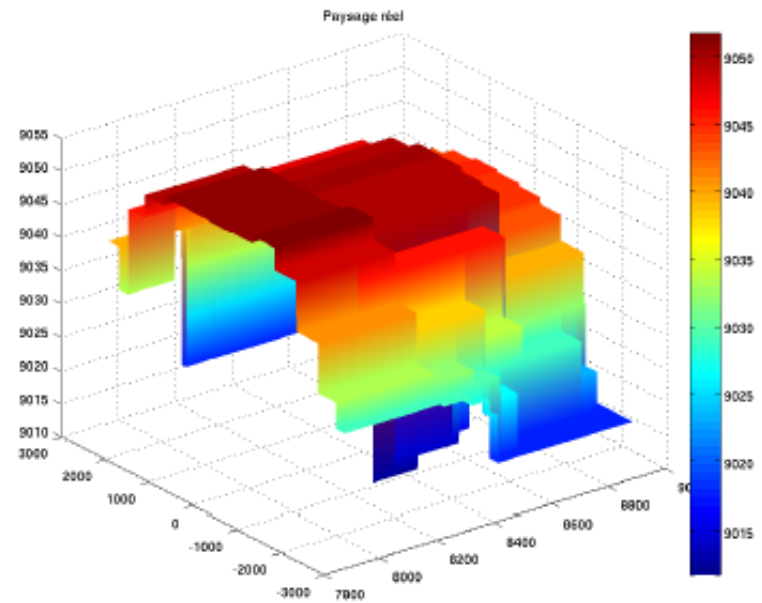


FIGURE 5.10 – Image cartésienne

V. Tests numériques

2) Images 3D

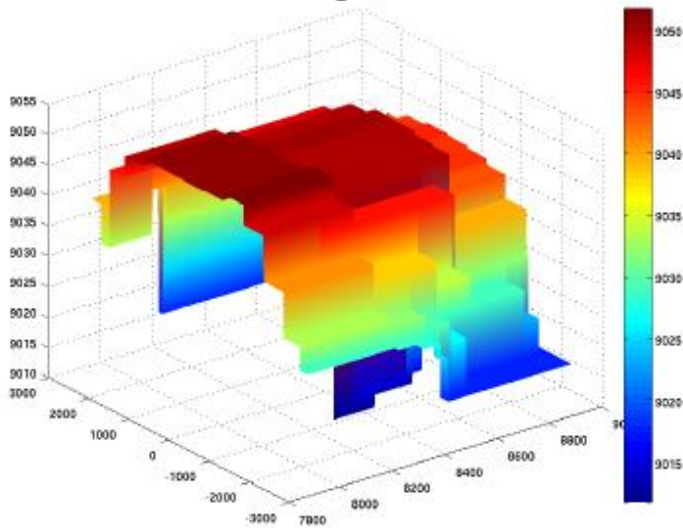


FIGURE 5.10 – Image cartésienne

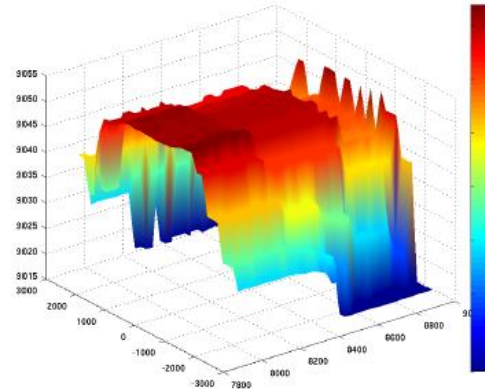


FIGURE 5.11 – Image convolée

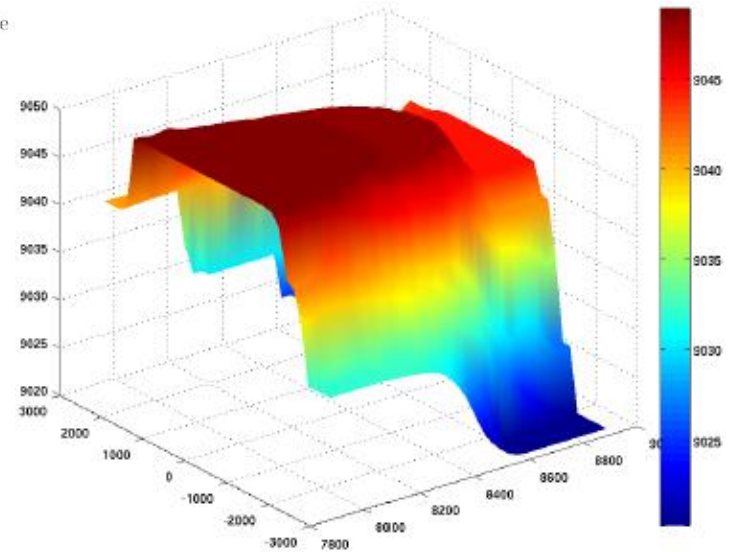


FIGURE 5.12 – Image traitée, $\lambda = 0.1$

V. Tests numériques

2) Images 3D

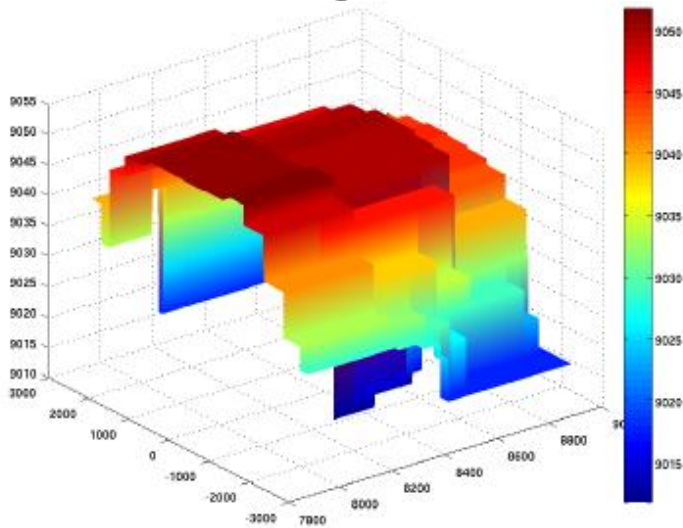


FIGURE 5.10 – Image cartésienne

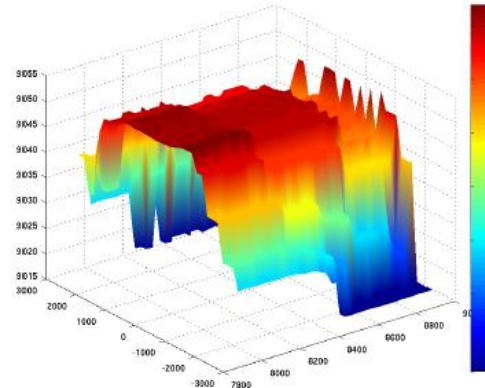


FIGURE 5.11 – Image convolée et bruit

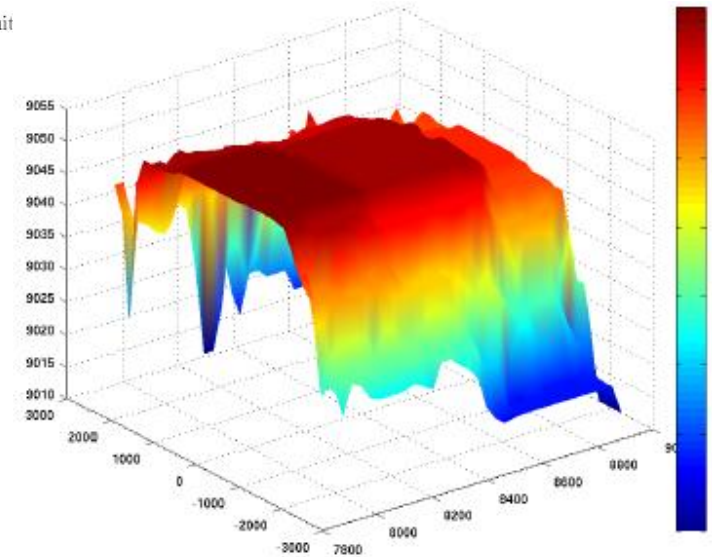


FIGURE 5.13 – Image traitée, $\lambda = 1$

V. Tests numériques

2) Images 3D

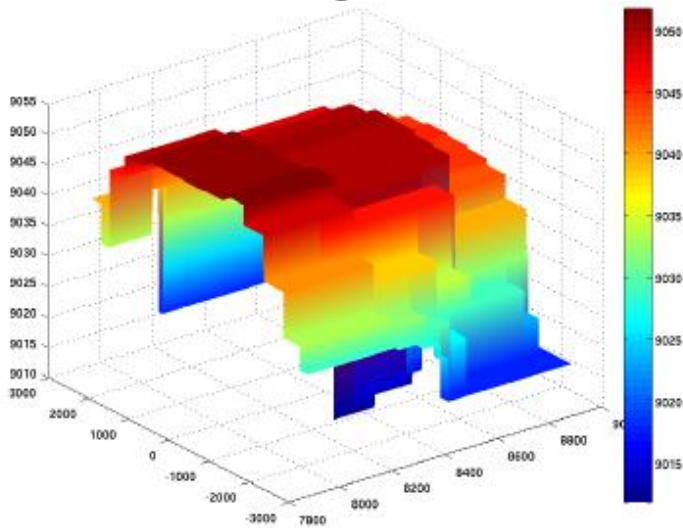


FIGURE 5.10 – Image cartésienne

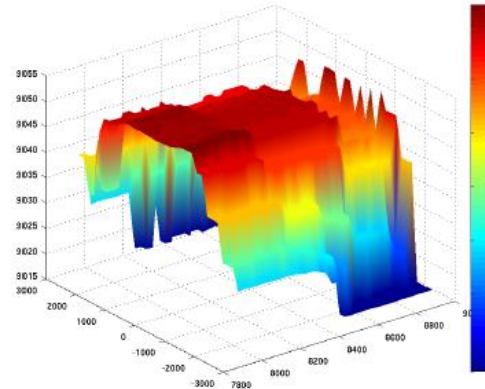


FIGURE 5.11 – Image convolée et bruit

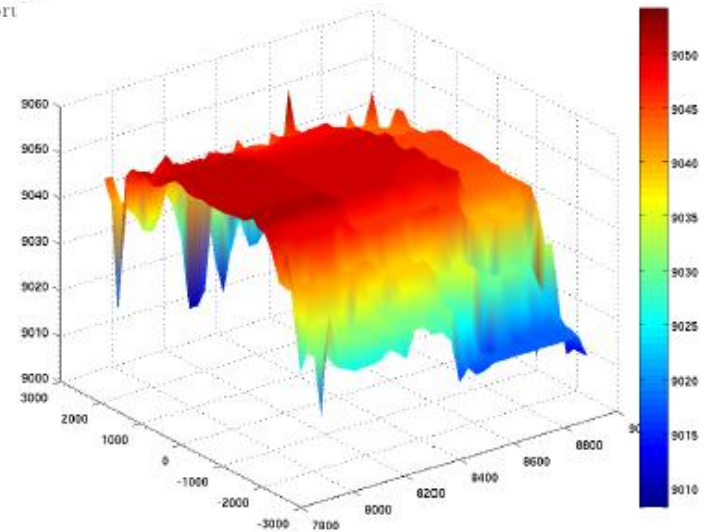


FIGURE 5.14 – Image traitée, $\lambda = 2$

V. Tests numériques

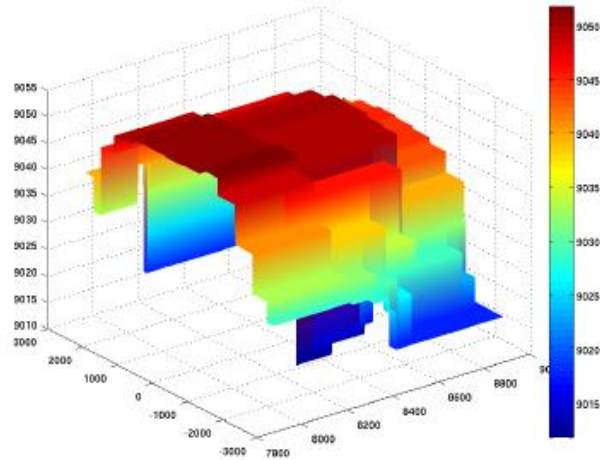


FIGURE 5.10 – Image cartésienne

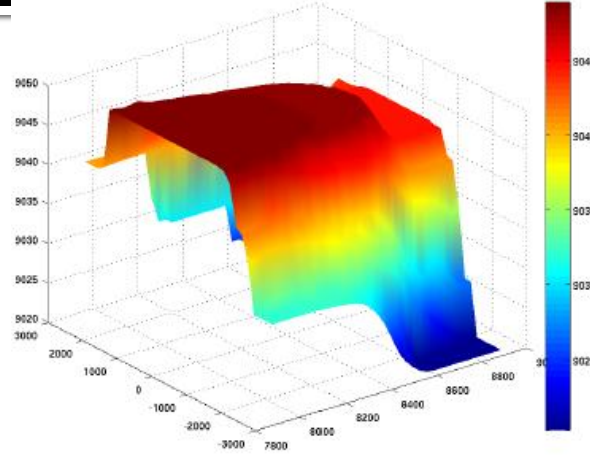


FIGURE 5.12 – Image traitée, $\lambda = 0.1$

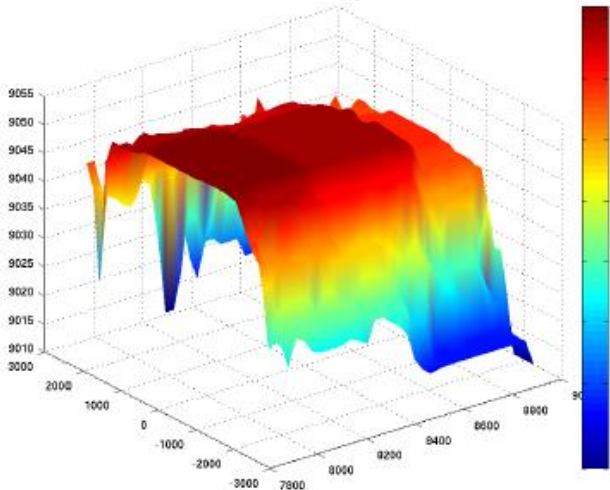


FIGURE 5.13 – Image traitée, $\lambda = 1$

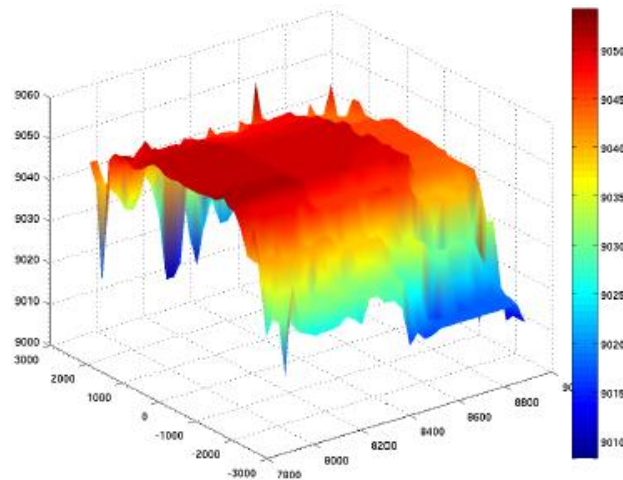


FIGURE 5.14 – Image traitée, $\lambda = 2$

V. Tests numériques

2) Images 3D

- Paysage

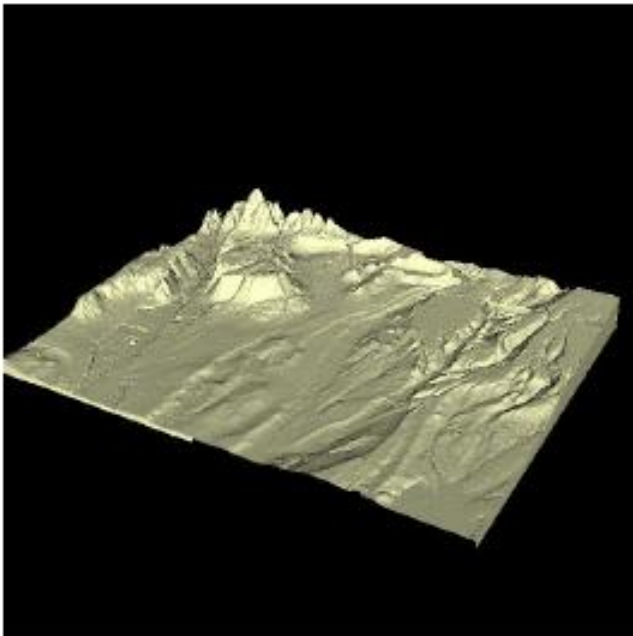


FIGURE 5.15 – Image maillée

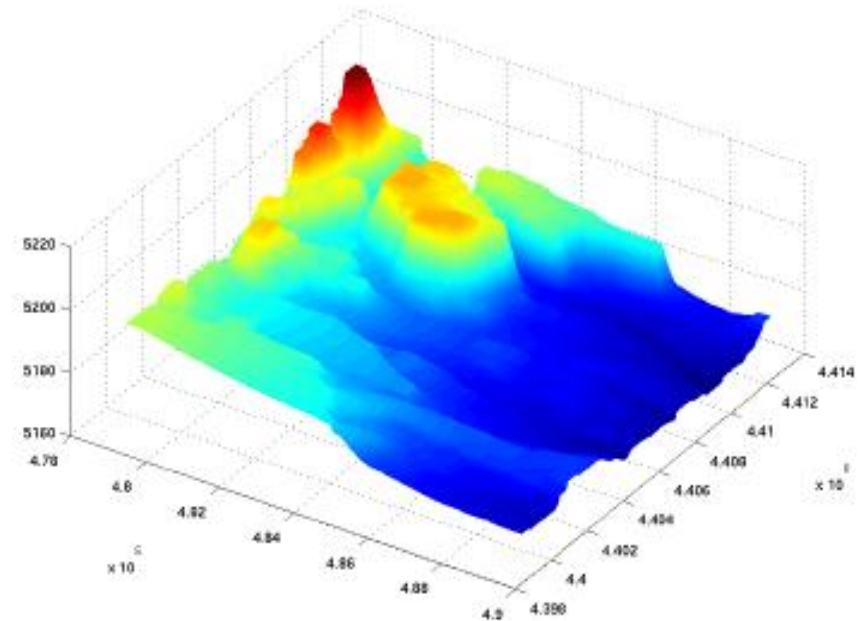


FIGURE 5.16 – Image cartésienne

V. Tests numériques

2) Images 3D

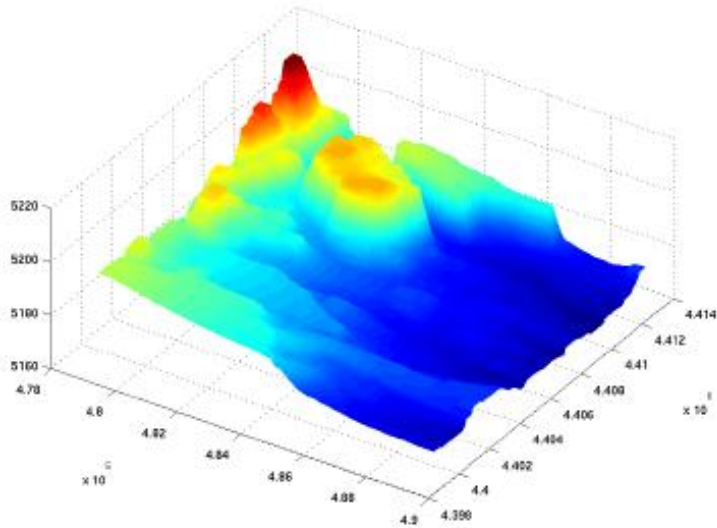


FIGURE 5.16 – Image cartésienne

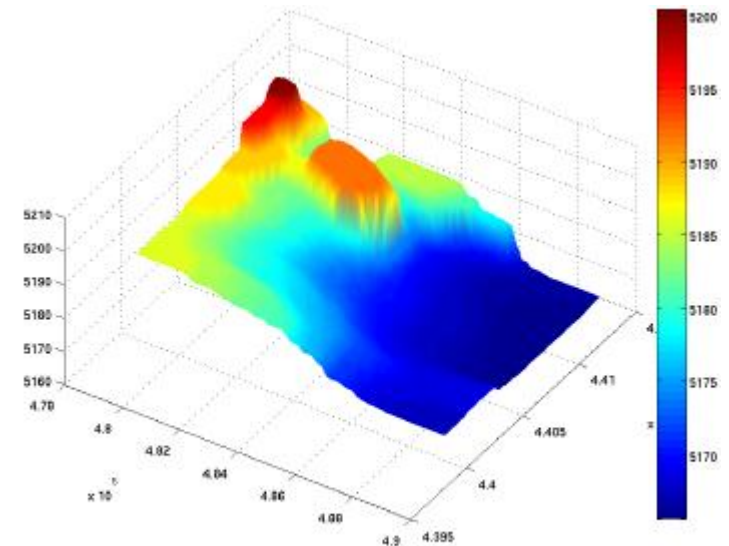
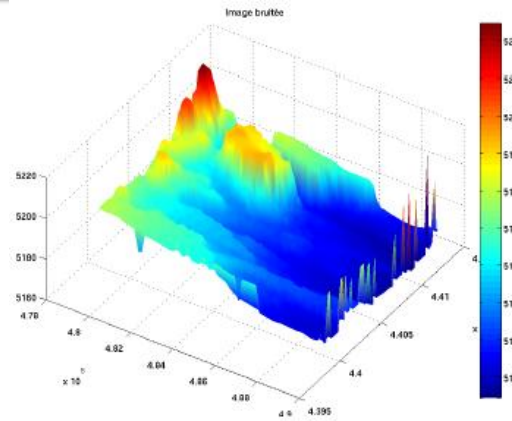


FIGURE 5.18 – $\lambda = 0.1$

V. Tests numériques

2) Images 3D

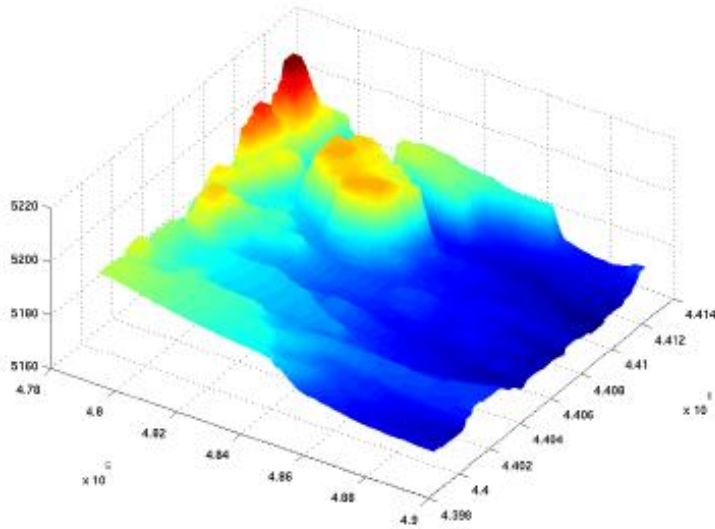


FIGURE 5.16 – Image cartésienne

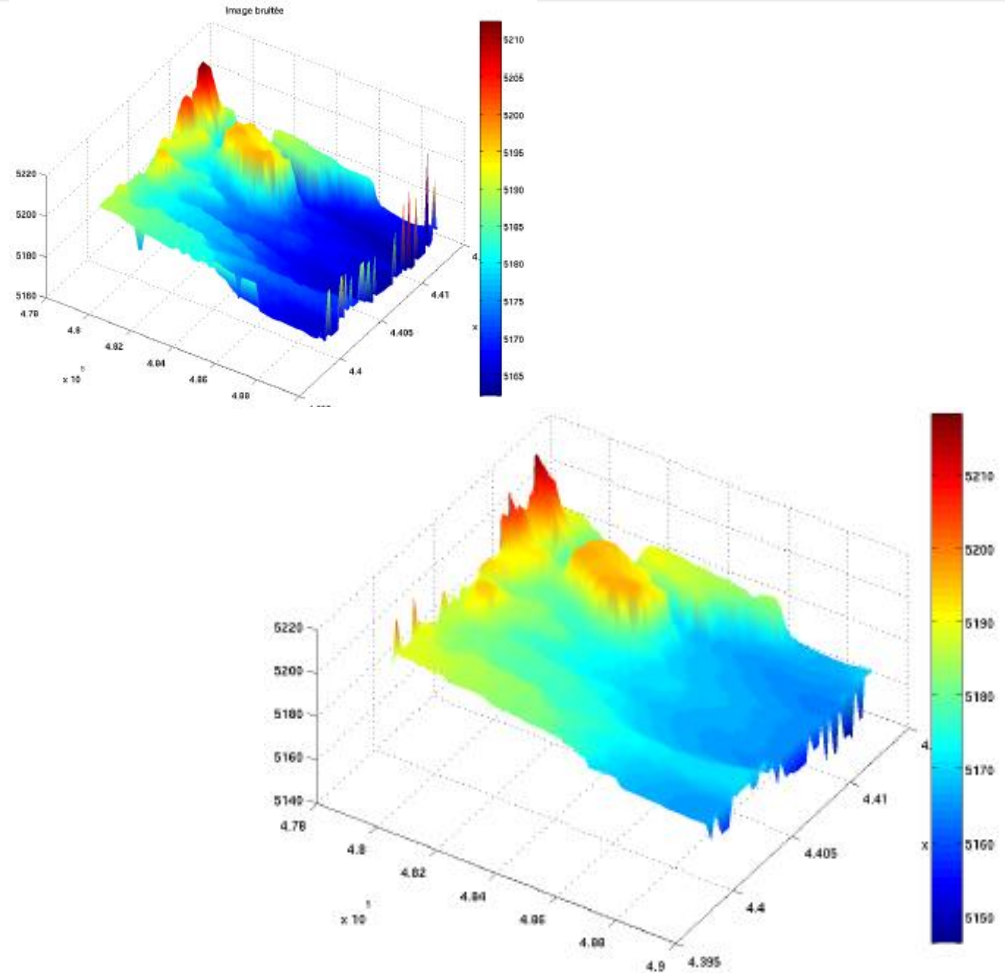


FIGURE 5.19 – $\lambda = 1$

V. Tests numériques

2) Images 3D

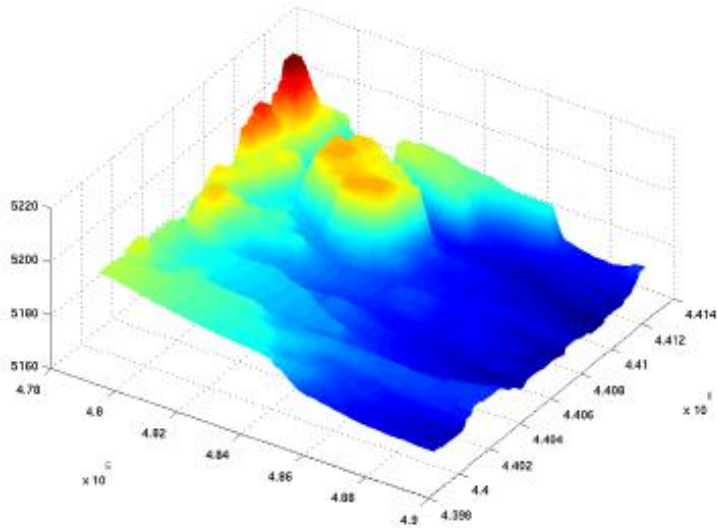


FIGURE 5.16 – Image cartésienne

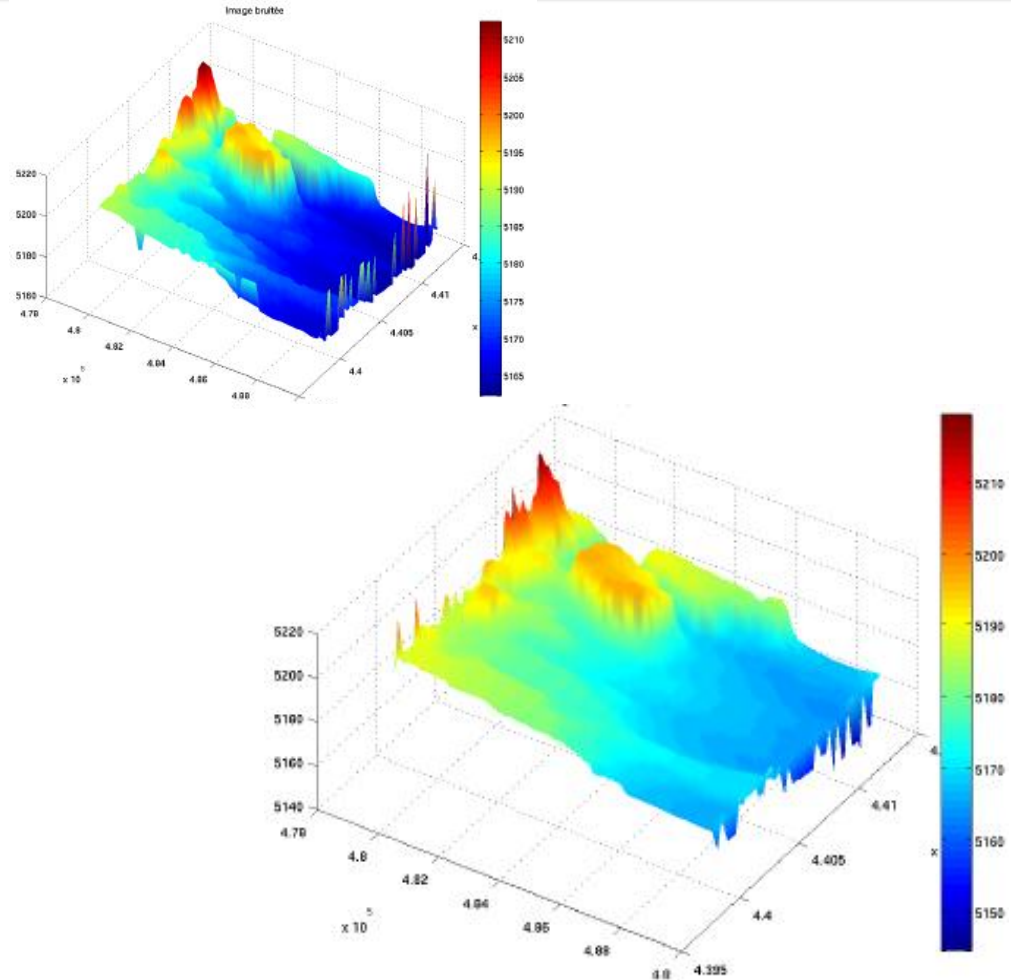


FIGURE 5.20 – $\lambda = 1.2$

V. Tests numériques

2) Images 3D

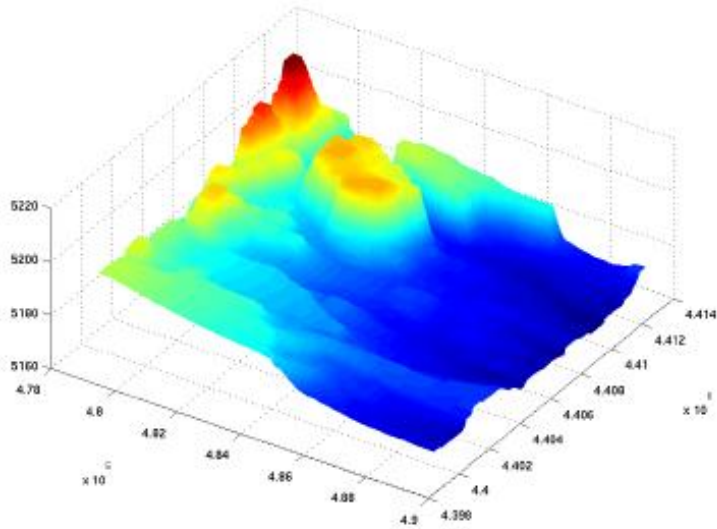


FIGURE 5.16 – Image cartésienne

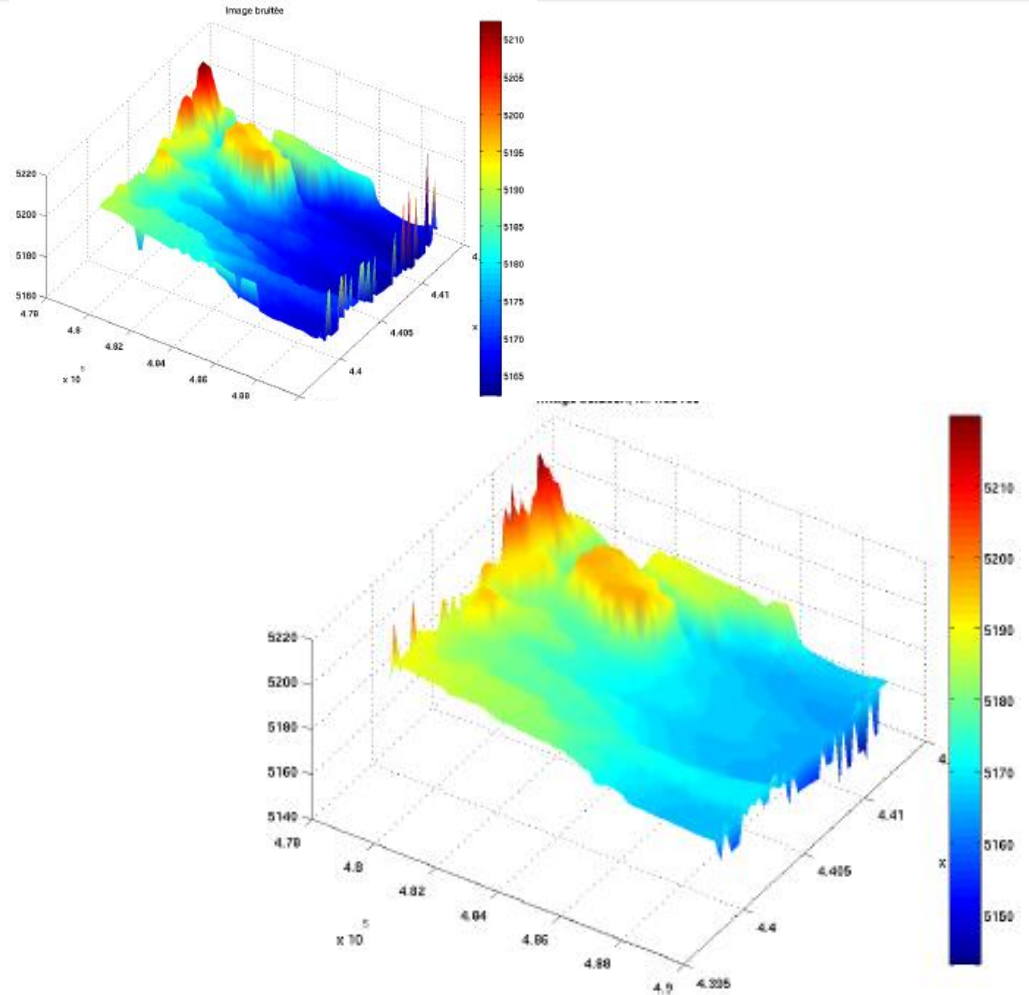


FIGURE 5.21 – $\lambda = 1.33$

V. Tests numériques

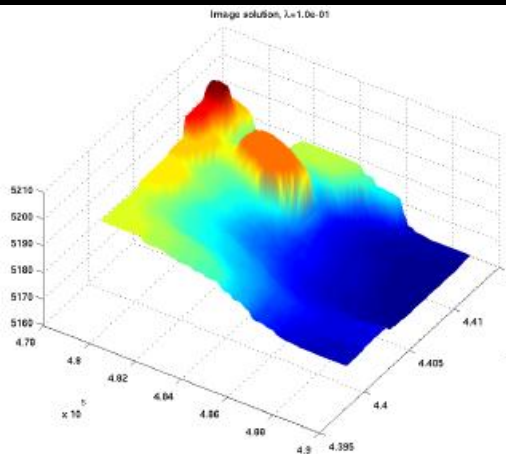


FIGURE 5.18 - $\lambda = 0.1$

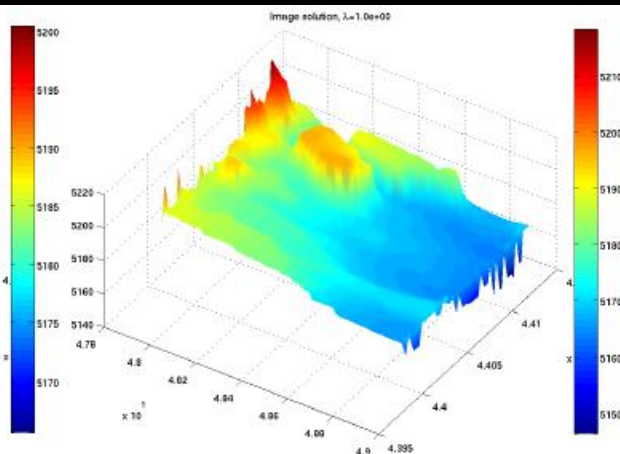


FIGURE 5.19 - $\lambda = 1$

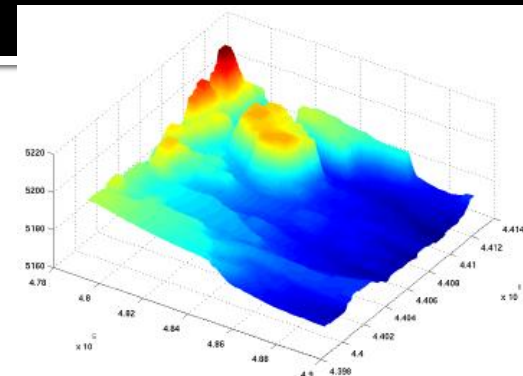


FIGURE 5.16 - Image cartésienne

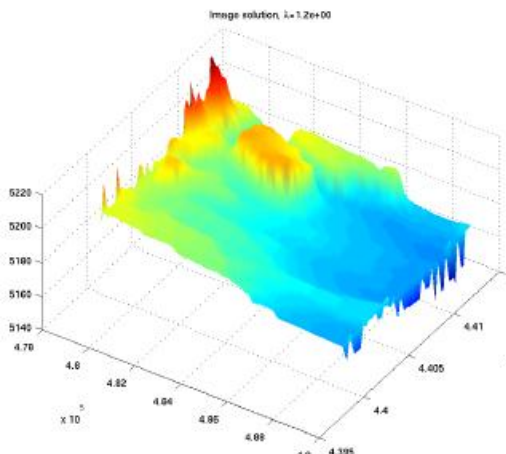


FIGURE 5.20 - $\lambda = 1.2$

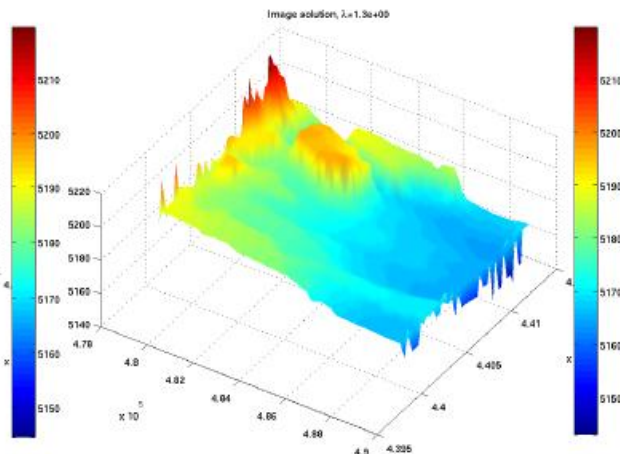
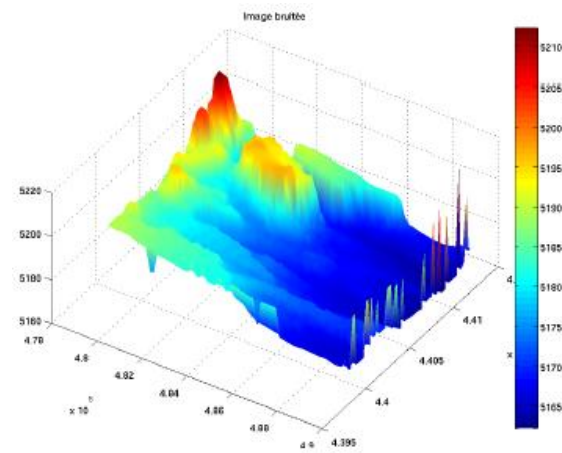


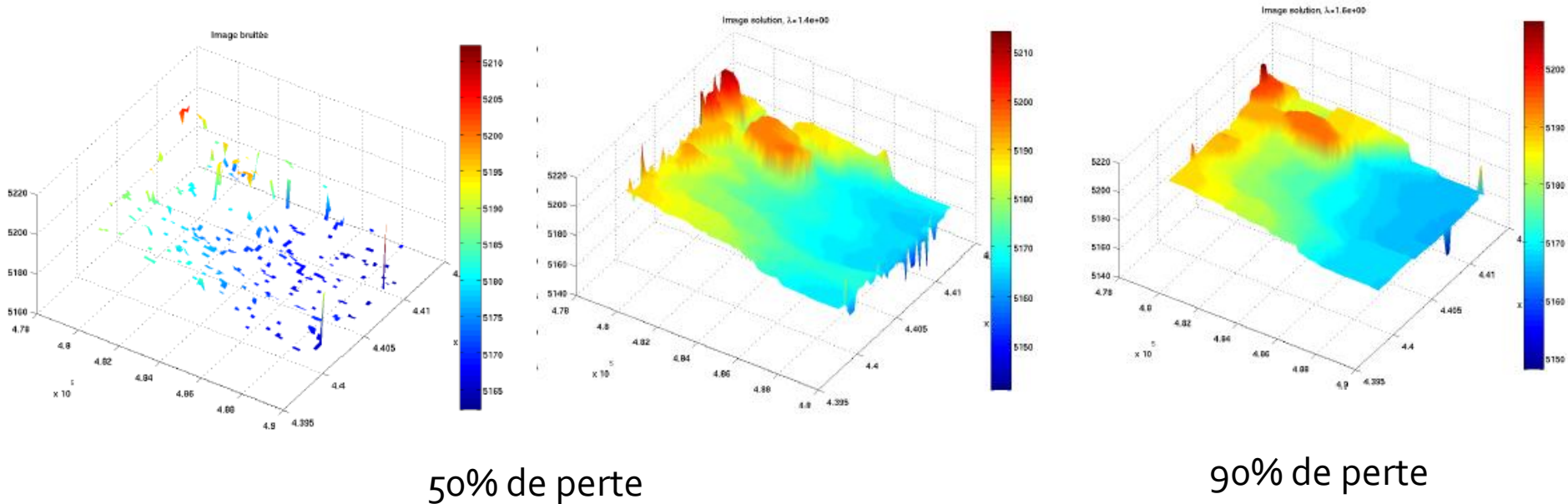
FIGURE 5.21 - $\lambda = 1.33$



V. Tests numériques

2) Images 3D

- Perte d'information : pixels manquants



Conclusion

- Projet intéressant
- Reconstitution d'images correcte mais difficile à mettre en œuvre.
- Limites du modèle : résultats mitigés
- **Merci à Jacques et Pierre 😊**